

# Магнитотранспортные свойства неупорядоченных сверхпроводников

Копасов А. А.

Институт физики микроструктур РАН

5 ноября 2015 г.

## План доклада

1. Теория Гинзбурга – Ландау.
2. Теорема Андерсона.
3. Мезоскопические флюктуации.
3. Шум в константе связи.
4. Флюктуации эффективной массы.
5. Случай сильного беспорядка.

# Феноменологическая теория Гинзбурга – Ландау

Вблизи  $T_{c0}$  в чистом пределе  $\hbar/p_F \ll \xi_0 \ll l$  ( $l$  - длина свободного пробега):

$$\boxed{\xi_0^2 \left( i\nabla + \frac{2\pi}{\Phi_0} \mathbf{A} \right)^2 \psi(\mathbf{r}) = \left( 1 - \frac{T_c}{T_{c0}} \right) \psi(\mathbf{r})} \quad (1)$$

Концентрация примесей  $\uparrow \Rightarrow$  грязный предел  $\xi_0 \gg l \gg \hbar/p_F$ .

Уравнение (1) имеет тот же вид в грязном пределе! Лишь перенормировка коэффициентов!

$$\xi_{0_{dirty}} \sim \sqrt{\xi_0 l} \sim \sqrt{D}, \quad (2)$$

где  $D = v_F l/3$  - коэффициент диффузии.

$$\lambda_{dirty}^2(T) \sim \lambda^2(T) \frac{\xi_0}{l}. \quad (3)$$

**Магнитотранспортные характеристики –  
нижнее поле**

$$H_{c1} = \frac{\Phi_0}{4\pi\lambda^2} \ln \frac{\lambda}{\xi}, \quad (4)$$

верхнее критическое поле:

$$H_{c2} = \frac{\Phi_0}{2\pi\xi^2}. \quad (5)$$

$l \downarrow \Rightarrow H_{c2} \uparrow, H_{c1} \downarrow$ .

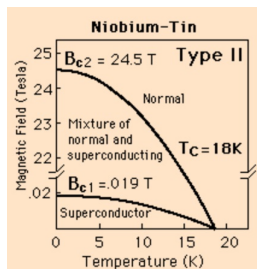


Рис. 1: Фазовая диаграмма сплава NbTn [Rohlf, James William, Modern Physics from a to Z0, Wiley (1994)]

# Сверхпроводящие сплавы и теорема Андерсона

**Слабый беспорядок:**  $k_F l \gg 1$ , где  $l$  - длина свободного пробега.

## Теорема Андерсона

Слабый беспорядок слабо влияет на термодинамические свойства сверхпроводников в нулевом магнитном поле.

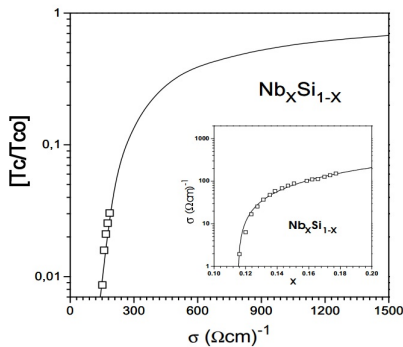


Рис. 2: Зависимость  $T_c$  от статической проводимости  $\sigma$  для аморфного сплава  $Nb_xSi_{1-x}$ . Также представлена зависимость статической проводимости  $\sigma$  как функция концентрации  $Nb$ .  
[Hertel G. et al., Phys. Rev. Lett. 50, 743 (1983)]  
(ИФМ РАН)

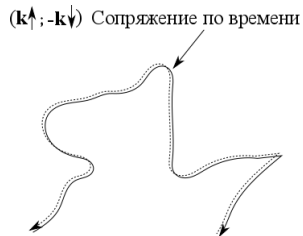


Рис. 3: Доказательство теоремы Андерсона.

# Мезоскопические флуктуации [Spivak B. and Fei Zhou, Phys. Rev. Lett. 74, 2800 (1995)]

**Геометрия:** сверхпроводящая пленка толщиной  $L_z \ll \xi_0 = \sqrt{D/T_c(0)}$ .

Уравнение самосогласования:

$$\Delta(\mathbf{r}) = \alpha \int d\mathbf{r}' K(\mathbf{r}, \mathbf{r}') \Delta(\mathbf{r})' , \quad (6)$$

$$K(\mathbf{r}, \mathbf{r}') = T \sum_{n=-\infty}^{\infty} G_{\varepsilon}(\mathbf{r}, \mathbf{r}') G_{-\varepsilon}(\mathbf{r}, \mathbf{r}') . \quad (7)$$

Теория возмущений по  $\hbar/p_F l$  ( $\delta H_{c2} = H_{c2} - H_{c2}^0$ ):

$$\frac{\delta H_{c2}}{H_{c2}^0} = \int d\mathbf{r} d\mathbf{r}' \delta K(\mathbf{r}, \mathbf{r}', H_{c2}^0 + \delta H_{c2}) \Delta_0(\mathbf{r}) \Delta_0(\mathbf{r}') , \quad (8)$$

$$\Delta_0(\mathbf{r}) = B \exp \left[ - \left( \frac{|\mathbf{r} - \mathbf{r}_0|}{L_{H_{c2}^0}} \right)^2 \right] . \quad (9)$$

Ответы:

$$\sqrt{\langle (\delta H_{c2})^2 \rangle} / H_{c2}^0 = \gamma^{1/2} e^2 / \hbar G_H , \quad (10)$$

$$\boxed{\delta H^* = H_{c2}^0 (e^2 / \hbar G_H)^2} \quad (L_0 \gg L_{\delta H^*}) . \quad (11)$$

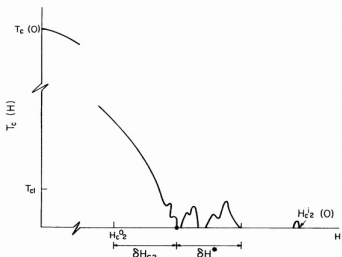


Рис. 4: Качественный вид  $T_c(H)$  в мезоскопических образцах.

Модель:

$$1/g = \langle 1/g \rangle + g_1, \quad \langle g_1(\mathbf{r})g_1(\mathbf{r}') \rangle = \gamma \delta(\mathbf{r} - \mathbf{r}'). \quad (12)$$

Малые области с критической температурой  $T_{cd}$ :

$$\gamma = [(T_{cd} - T_{cm})/T_{cm}]^2 v_d^2 n, \quad (13)$$

где  $v_d$  - объем кластера,  $n$  - концентрация кластеров.

**Область  $T < T_{c0}$**

[A. I. Larkin and Yu. N. Ovchinnikov, Zh. Eksp. Teor. Fiz. 65, 1704 (1973)]:

$$\delta\tau = \gamma^2 T^3 / D^3. \quad (14)$$

Здесь  $\tau = (T - T_{c0})/T_{c0}$ .

**Область  $T > T_{c0}$ :**

$$T_c - T_{c0} = T \delta\tau \frac{1}{170} \ln^2 \frac{\alpha}{\ln \nu \gamma T}, \quad (15)$$

где  $\alpha = 0.89$  для  $d = 3$ ,  $\alpha = 0.95$  для  $d = 2$ ,  $\nu = 0.9$  для  $d = 3$ ,  $\nu = 1.3$  для  $d = 2$ .

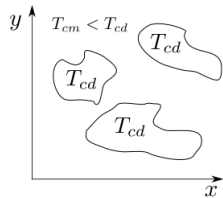


Рис. 5: Сверхпроводящие капли с  $T_{cd}$  в матрице сверхпроводника с  $T_{cm}$ .

# Флуктуации эффективной массы

Грязный предел:  $(m^*)^{-1} \sim D$ .

1. Локальные флуктуации в числе примесей  $n_i = n_i(\mathbf{r})$  (дефекты локализованные и протяженные).

$n_i(\mathbf{r}) \Rightarrow l = l(\mathbf{r}) \Rightarrow D = D(\mathbf{r})$ .

2. Флуктуации ориентации оси  $c$  в сверхпроводящих пленках относительно  $\mathbf{H}$ .

$$m_y(y) = \left[ \frac{\cos^2 \alpha(y)}{m_{y'}} + \frac{\sin^2 \alpha(y)}{m_{z'}} \right]^{-1}, \quad m_z(y) = \left[ \frac{\sin^2 \alpha(y)}{m_{y'}} + \frac{\cos^2 \alpha(y)}{m_{z'}} \right]^{-1}. \quad (16)$$

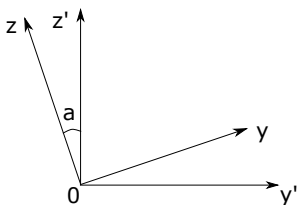


Рис. 6: Иллюстрация, поясняющая выражение (16).

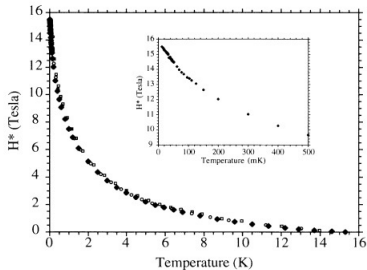


Рис. 7:  $H_{c2}(T)$  в  $Tl_2Ba_2CuO_6$ .  
[Mackenzie A. P. et al., Phys. Rev. Lett. 71, 1238 (1993)]

# Флуктуации эффективной массы (некоторые результаты)

[V. M. Galitski and A. I. Larkin, Phys. Rev. Lett. **87**, 087001 (2001)]

$$D(\mathbf{r}) = \overline{D} + \delta D(\mathbf{r}) , \quad \overline{\delta D(\mathbf{r}) D(\mathbf{r}')} = \overline{D}^2 d^2 \delta(\mathbf{r} - \mathbf{r}') . \quad (17)$$

Совместно с Д. А. Савиновым и А. С. Мельниковым:

$$D(\mathbf{r}) = \overline{D} + \delta D(\mathbf{r}) , \quad \overline{\delta D(\mathbf{r}) D(\mathbf{r}')} = \frac{\overline{D}^2 d^2}{\ell_c^2} \exp(-|\mathbf{r} - \mathbf{r}'|/\ell_c^2) . \quad (18)$$

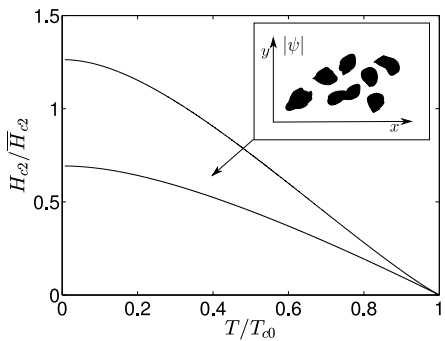


Рис. 8: Область относительных флуктуаций  $H_{c2}$  как функция температуры для  $d = 3\xi_0$ ,  $\ell_c = \xi_0$ .

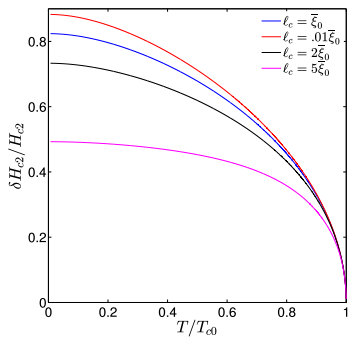


Рис. 9: Зависимость относительных флуктуаций  $H_{c2}$  от температуры  $T$  для  $d = 3\xi_0$ .

# Локализация

Сильный беспорядок:  $k_F l \sim 1$ .

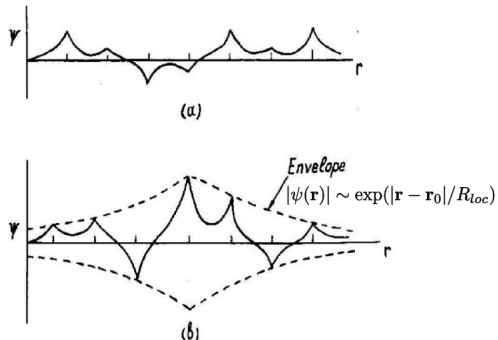


Рис. 10: Схематичное изображение электронных волновых функций в неупорядоченной среде: (а) – делокализованное состояние. (б) – локализованное состояние.

[M. V. Sadovskii, Superconductivity and localization, World Scientific (2000)]

$$\sigma \approx \sigma_c \left| \frac{E_F - E_c}{E_c} \right|^{(d-2)\nu}, \quad (19)$$

где  $\sigma_c \approx e^2 p_F / 3\pi^2 \hbar^2$ ,  $E_c$  – порог подвижности.

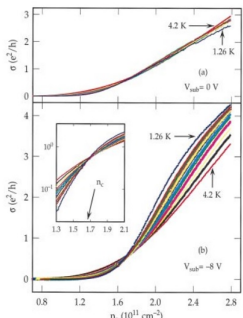


FIG. 11(color). Conductivity  $\sigma$  of sample 5 as a function of  $n_e$  for  $T = 4.2, 3.6, 3.2, 2.8, 2.5, 2.3, 2.08, 1.93, 1.79, 1.67, 1.57, 1.26$  K and (a)  $V_{sub} = 0$  V, (b)  $V_{sub} = -8$  V. In (a),  $\sigma$  decreases for all  $n_e$  as  $T$  is lowered. In (b),  $\sigma$  increases as  $T$  goes down for all  $n_e > n_c$ . The inset shows the same data around  $n_c$  with  $\sigma$  on a logarithmic scale.

Рис. 11: [Popovic D, et al., Phys. Rev. Lett. 79, 1543 (1997)]

По сути обратные явления!

Вблизи  $T_{c0}$ :

$$F_s = F_n + A|\Delta|^2 + \frac{1}{2}B|\Delta|^4 + C|(\nabla - \frac{2ie}{\hbar c}\mathbf{A})\Delta|^2 \quad (20)$$

$$C \approx \begin{cases} \frac{\pi}{8T_c} N(E_F) D; & R_l < (\xi_0 l^2)^{1/3}; E_F > E_c \\ N(E_F) \left( \frac{D_0 l}{T_c} \right)^{2/3} \sim N(E_F) (\xi_0 l^2)^{2/3}; & R_l > (\xi_0 l^2)^{1/3}; E_F \gtrless E_c \\ N(E_F) R_l^2 \ln \frac{1.78 D}{\pi T_c R_l^2}; & R_l < (\xi_0 l^2)^{1/3}; E_F < E_c \end{cases} \quad (21)$$

Здесь  $D = D_0(k_F R_l)^{-1}$ ,  $R_l \approx (1/k_F)|(E_F - E_c)|/E_c|^{-\nu}$ .

Уравнение самосогласования:

$$\ln T/T_c = \pi T \sum_{\varepsilon_n} \left\{ \frac{1}{|\varepsilon_n| + \tilde{D}(2|\varepsilon_n|)\pi H/\Phi_0} - \frac{1}{|\varepsilon_n|} \right\}, \quad (22)$$

$$\frac{\tilde{D}(\omega_m)}{D_0} = 1 - \frac{\lambda}{\lambda_c} - \frac{\pi}{2} \frac{\lambda}{\lambda_c} \left[ \frac{D_0}{\tilde{D}(\omega_m)} \omega_m \tau \right]^{1/2}, \quad (23)$$

где  $\lambda = (2\pi E_F \tau)^{-1}$ ,  $\lambda_c = (2\pi E_c \tau)^{-1}$ .

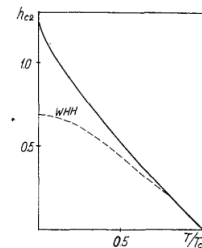


Рис. 12: Вычисленная зависимость  $h_{c2}(T)$ .

Спасибо за внимание!

Статистическая сумма:

$$Z = \text{tr} \left\{ \exp \left( -\frac{\hat{H}}{T} \right) \right\} . \quad (24)$$

Вычисление следа разделяется на суммирование по "быстрым" электронным степеням свободы и последующее функциональное интегрирование по всевозможным конфигурациям "медленных" волновых функций *флуктуационных куперовских пар*  $\Psi(\mathbf{r})$ :

$$Z = \int \mathcal{D}^2 \Psi(\mathbf{r}) \mathcal{Z} [\Psi(\mathbf{r})] , \quad (25)$$

$$\mathcal{Z} [\Psi(\mathbf{r})] = \exp \left( -\frac{\mathcal{F}[\Psi(\mathbf{r})]}{T} \right) . \quad (26)$$

Часть гамильтониана системы, связанная с наличием *флуктуационных куперовских пар*:

$$\mathcal{F}[\Psi(\mathbf{r})] = F_N + \int dV \left\{ a|\Psi(\mathbf{r})|^2 + \frac{b}{2}|\Psi(\mathbf{r})|^4 + \frac{1}{4m}|\nabla\Psi(\mathbf{r})|^2 \right\} . \quad (27)$$

## Дополнение. Параметр Гинзбурга – Леванюка

**Вопрос: где находятся пределы применимости теории Гинзбурга–Ландау?**

Исторически первый критерий:

$$\frac{\delta T}{T_c} \sim \text{Gi}_{(D)} . \quad (28)$$

$\text{Gi}_{(D)}$  – параметр Гинзбурга – Леванюка (область критических флюктуаций).

$\text{Gi}_{(2)}^{(d)} \approx 1/23G_{\square}$ , где  $G_{\square} = \hbar/e^2 R_{\square}$ .

Таблица 1: Значение числа Гинзбурга – Леванюка для различных сверхпроводящих систем

$\text{Gi}_{(3)}$	$\text{Gi}_{(2)}$
$80(T_c/E_F)^4$ , (c) $(1.6/(p_F l)^3)(T_c/E_F)$ , (d)	$(T_c/E_F)$ , (d) $0.27/p_F l$ , (d) $1.3/p_F^2 l d$ , (d) film
$\text{Gi}_{(1)}$	$\text{Gi}_{(0)}$
$0.5$ , (d) $1.3(p_F S)^{-2/3}(T_c \tau)^{-1/3}$ , (d) wire $2.3(p_F^2 S)^{-2/3}$ , (d) whisker	$13.3(T_{c0}/E_F) \sqrt{\xi_0^3/V}$